

23-21-IT-AG- 9009-9010.-

Vista parcial de la Serie 10 tramos carbonatados del  
Toarciente-Aaleniente-Bajociense (5) en el Bco. de la Hoz Somera.





**23-21-IT-AG- 9011.-**

**23-21-IT-AG- 9011.-** Vista parcial de las calizas micríticas del Toarcense sup-Aaleniano de la Serie 10 en el Bco. de la Hoz Somera. "Formación Carbonatada de Chelva" "Miembro Casinos" (5).



23-21-IT-AG- 9013 y 9014.-

23-21-IT-AG- 9013 y 9014.- Panorámica del Anticlinal de El Pozuelo, cuyo núcleo aflora la Unidad de Calizas y Dolomias tableadas, correspondiente a la Formación Cuevas Labradas. Lugar donde se realiza la Serie 11.

23-21-IT-AG- 9015.- Detalle parcial de la Serie 11 en el anticlinal de el Pozuelo en su flanco occidental. Unidad de Calizas y Dolomias tableadas (2).





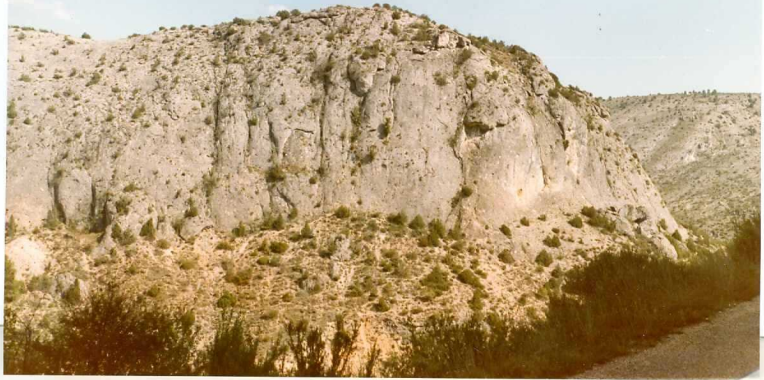
**23-21-IT-AG- 9016.-**

**23-21-IT-AG- 9016.-** Unidad de Brechas y Carniolas del Campaniense (10) en el Arroyo de la Vega al norte de Alcanlud. En primer término las facies del Paleoceno-Eoceno (13).



23-21-IT-AG- 9017.-

23-21-IT-AG- 9017.- Unidad de Brechas y Carniolas del Campaniense (10) al norte del Recuenco y lo largo de la carretera de El recuenco-Gaudalajara.



23-21-IT-AG- 9018.- Misma unidad que la anterior y en el mismo lugar-Brechas y Carniolas (10) del Campaniense.

23-21-IT-AG- 9019.- Unidad de yesos, arcillas y dolomías (11) del Campaniense-Maastrichtiense-Paleócenico- en el Anticlinal de Vindel-Guadiela. En primer término el llano de Alcanlud.





23-21-IT-AG- 9020.-

23-21-IT-AG- 9020.- Misma unidad que la anterior en la que se observa la flexión anticlinal de Vindel-Guadiela.



23-21-IT-AG- 9021.- Discordancia entre la formación de Yesos, arcillas y dolomías (11) asimilable a la "Formación de Yesos de P. de La Sierra" y los conglomerados basales del Mioceno inferior (16) en el Valle del río Vinal.



23-21-IT-AG- 9022 y 9023.- Panorámica de las Facies mixtas "Carbonáticas y Detriticas" del Eoceno-Oligoceno al E de Arbeteta. Apoyadas discordantemente sobre la Unidad de Brechas y Carniolas (10) del Campaniense.



23-21-IT-AG- 9024.- Rellenos de canal carbonatados (Restos de tallos, troncos, algas etc) en la Serie Eoceno-Oligoceno (13) al E de Arbeteta.

23-21-IT-AG- 9025.- Depósitos carbonáticos (Calizas lacustres) de la Serie  
Eoceno-oligoceno (13). Detalle de la estratificación. al E de Arbeteta.



23-21-IT-AG- 9026.- Conglomerados y areniscas, verticales en la margen derecha del río Guadiela. Edad-Eoceno-oligoceno. (13).







23-21-IT-AG- 9028.-

23-21-IT-AG- 9028.- Calizas de algas, de origen lacustres (14) intercaladas en el Serie Eoceno-Oligoceno (13) en el Bco. de Valdehorno al Sur de la localidad de Vindel.





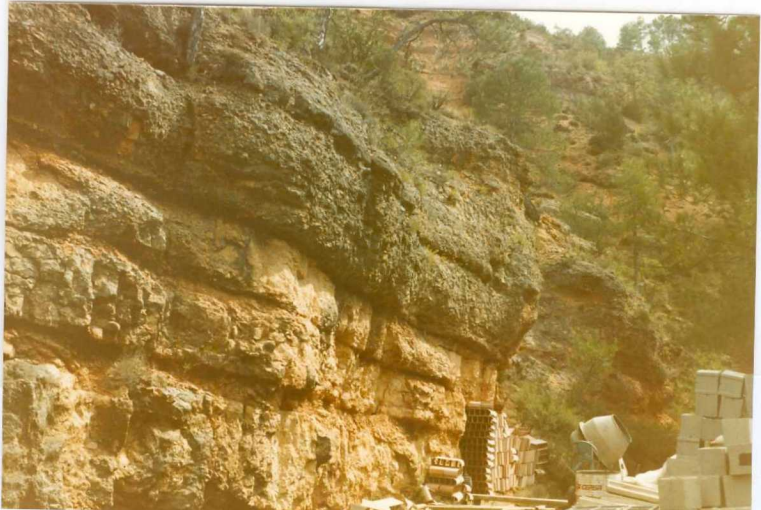
23-21-IT-AG- 9030.- Discordancia entre los conglomerados del Oligoceno-Mioceno (15) y el Cretácico sup. (Santonense) en la margen derecha del río Guadiela.



23-21-IT-AG- 9031.-

Detalle de los conglomerados anteriormente citados.

23-21-IT-AG- 9032.- Detalle de la zona basal de la Unidad de conglomerados de la serie Oligoceno-Mioceno inf. (15) en la margen izquierda del río Guadiela, a la altura del poblado de Santa Cristina.



23-21-IT-AG- 9033.-

Canales conglomeraticos de la base del Mioceno inf. (16) en el valle del río Vindel al norte de Arandilla del Arroyo.







**23-21-IT-AG- 9035.-**

**23-21-IT-AG- 9035.-** Calizas de algas en el techo de las secuencias de abandono de canal pertenecientes a la parte superior del Mioceno inf. conglomeráctico (16).

-21-IT-AG- 9036.- Abanico aluvial de Arbeteta. Depósitos de Mud-flow y  
bris-flow del Mioceno inf.-medio (17).



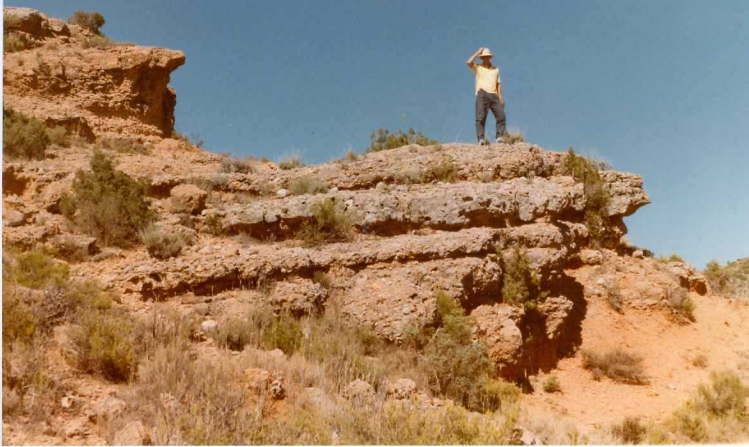


23-21-IT-AG- 9037.-

23-21-IT-AG- 9037.- Cuerpo alargado y con bases erosivas en los depósitos de Mud-flow (17) al norte de Vindel y apoyados discordantemente sobre el Cretácico sup.

23-21-IT-AG- 9038.- Detalle de uno de los cuerpos brechoides y arcillosos de los depósitos de Mud-flow (17) al norte de Vindel.





23-21-IT-AG- 9039.-

23-21-IT-AG- 9039.-

Otro detalle de los mismos depósitos y en el mismo lugar.

23-21-IT-AG- 9040.- Canal conglomerático próximo a la base de la Unidad detrítica media (18) del Mioceno inf.-medio en Arandilla del Arroyo.





**23-21-IT-AG- 9041.-**

**23-21-IT-AG- 9041.-** Depósitos de desbordamiento sobre barras areniscosas en la serie de Castilforte. Mioceno medio (18).

23-21-IT-AG- 9042.- Dunas fluviales con ripples a techo en la parte superior de un canal de base conglomeratica en la serie de Castilforte. Mioceno medio (18).





**23-21-IT-AG- 9043.-**

**23-21-IT-AG- 9043.-** Depósitos de inundación, interdigitados y de probable pertenencia a diferentes canales. (Serie de Castilforte. Mioceno medio (18).



**23-21-IT-AG- 9044.-** Depósitos carbonatados lenticulares y de escaso desarrollo lateral e intercalado entre arcillas de inundación. Mioceno medio (18). Serie de Castilforte.

23-21-IT-AG- 9045.-

Discordancia entre el Mioceno sup. (18) y (19) y el Cretácico superior en Vindel.





23-21-IT-AG- 9046.-

23-21-IT-AG- 9046.- Base conglomerática de la Unidad detrítica superior. Mioceno superior (19) en Castilforte.

23-21-IT-AG- 9047.- Depósitos encalichados en al Serie del Bco. de Juambuena.  
Miocene sup. Unidad detrítica superior (19).





23-21-IT-AG- 9048.-

23-21-IT-AG- 9048.- Areniscas calcáreas, encalichadas en la serie del Bco. de Juambuena. Mioceno Sup. Unidad detrítica superior (19).



23-21-IT-Ag- 9049.- Vista panorámica de las unidades Media y Superior del Mioceno (18 y 19) en Vindel.



23-21-IT-AG- 9050.-

23-21-IT-AG- 9050.- Panorámica de las calizas de la Unidad carbonatada inferior  
(21) al N de la localidad de Vindel.

23-21-IT-AG- 9051.- Carretera de Paralveche a Trillo. Unidad carbonatada inferior (21).



23-21-IT-AG- 9052.- Carretera de Paralveche a Trillo Calizas de las unidades carbonatadas (19 y 21). Serie de Peralveche II.





23-21-IT-AG- 9053.-

23-21-IT-AG- 9053.- Panorámica del techo de la Unidad carbonatada inferior (21). Por encima aparece el Sistema fluvial intramioceno (22). Serie de Peralveche I.







23-21-IT-AG- 9056.-

23-21-IT-AG- 9056.- Carretera de Peralveche a Trillo. Al fondo la Unidad carbonatada (21) del Mioceno Superior, y sobre ello en el techo el sistema Fluvial Intramioceno (22).

23-21-IT-AG- 9057.- Paraje de la Picoso, al norte de la Hoja. Serie del Mioceno Superior y a techo al Sistema Fluvial Intramioceno (22).



23-21-IT-AG- 9058.- Bco. de Juambuena. Niveles de dunas y ripples en areniscas pertenecientes al Sistema Fluvial Intramioceno (22).





23-21-IT-AG- 9059.-

23-21-IT-AG- 9059.- Formación carbonática del Mioceno Superior-Plioceno por encauce del Sistema Fluvial Intramioceno (22). Calizas de algas y tubos, plegadas (23) en la carretera de Peralveche a Trillo.

23-21-IT-AG- 9060 y 9061.- Panorámica de las terrazas travertínicas, bajo el pueblo de Santa Cristina, en el Valle del río Guadiela.





**23-21-IT-AG- 9062.-**

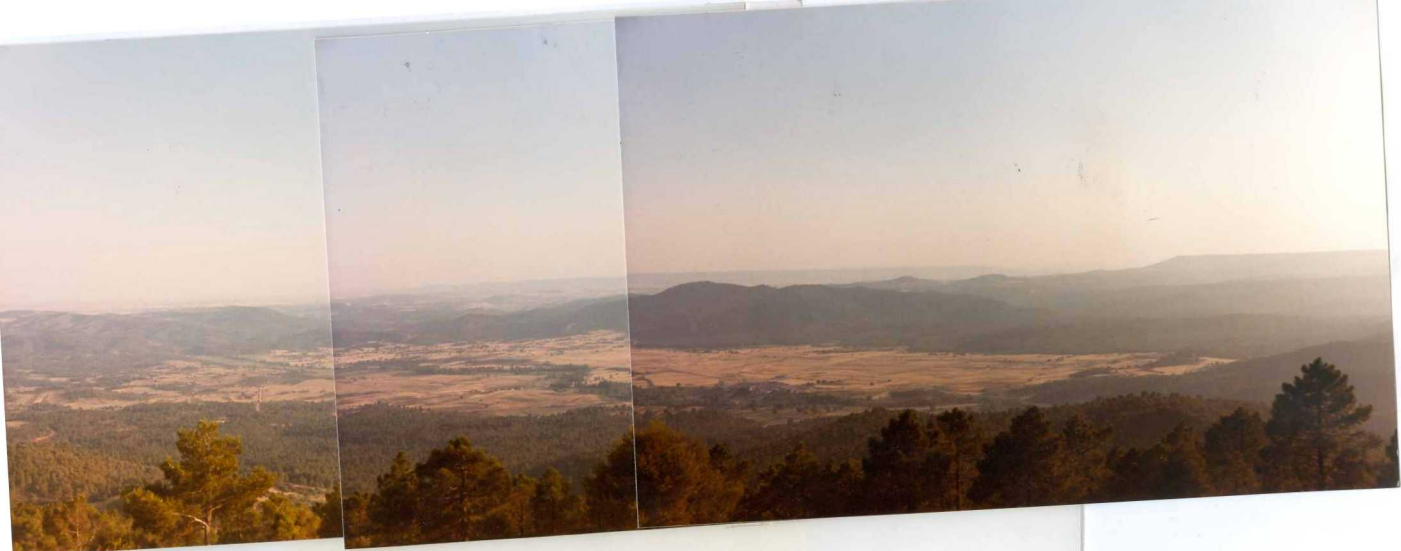
**23-21-IT-AG- 9062.-** Detalle del escarpe de la margen derecha del río Guadiela  
bajo la localidad de Santa Cristina. Terrazas travertínicas (24).

**23-21-IT-MT- 9502.-**



**23-21-IT-MT- 9502.-**  
con el río Alcantud.

Detalle de las terrazas (27) del río Guadiela en su confluencia



23-21-IT-MT- 9507-

**23-21-IT-MT- 9507.-** Panorámica de la depresión de Alcantud rellena por depósitos de terrazas, aluviales etc., así como también depósitos travertínicos.



23-21-IT-MT- 9508.- Panorámica de los depósitos conglomeráticos del Oligoceno-Mioceno inferior (15) al Este de Peña Escrita, en el Valle del río Guadiela. Se apoyan discordantes sobre el Cretácico Superior.

23-21-IT-MT- 9544.- Vista del flanco oriental del Anticlinorio del Recuenco desde el Estrecho del arroyo de La Vega. En el término inferior las dolomías Turonienses (8) y el término superior, las Brechas (9) y Dolomías y Calizas (9') del Coniaciense-Santoniano.

10

23-21-IT-MT- 9544.-



23-21-IT-MT- 9546.- Vista de la unidad de Carniolas (1) asimilable a la Formación "Carniolas y Dolomias de Cortes de Tajuña". Sobre ella la Unidad de Calizas Dolomías tablaeadas (2), asimilable a la "Formación de Cuevas Labradas" del Sinemuriense-Carixiense, en la Hoz del río Guadiela.



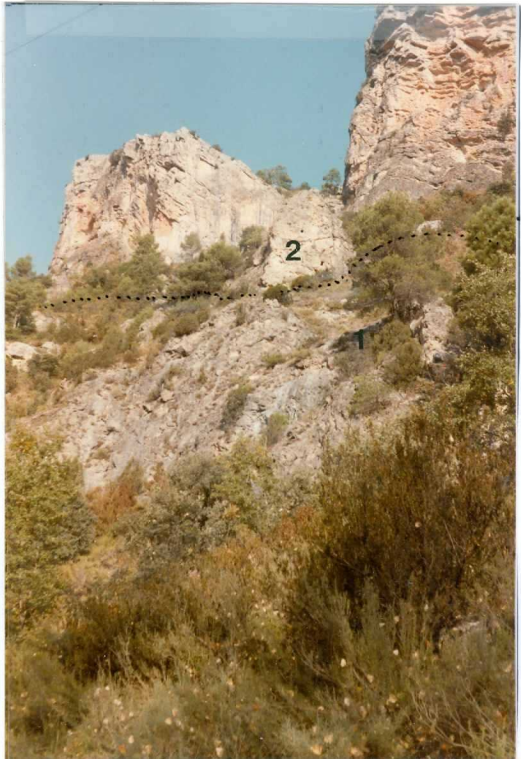
23-21-IT-MT- 9547.-



23-21-IT-MT- 9547.- En el Estrecho de las Tejeras, Hoz del río Guadiela, vista de la Unidad de Carniolas (1) y de la Unidad de Calizas y dolomias tableadas (2) del Tránsito Triásico-Jurásico y Liasico respectivamente.

23-21-IT-MT- 9548.- En el Estrecho de las Tejeras Hoz del río Guadiela, aflora la Unidad de Carniolas (1) y la Unidad de Calizas y Dolomias (2).

23-21-IT-MT- 9548.-





23-21-IT-MT- 9549.-

23-21-IT-MT- 9549.- Unidad de Calizas y Dolomias tableadas (2) en la Hoz del río Guadiela.

23-21-IT-MT- 9552.-

Anticlinal de El Pozuelo. Aspecto de detalle de las Facies

Utrillas (6)





23-21-IT-MT 9553.-

23-21-IT-MT 9553.- Anticlinal de El Pozuelo. Campos de labor sobre las Facies Utrillas (6).

23-21-IT-MT- 9554.- Ciclo de dolomias con bioturbación y laminaciones de la Unidad Margas, Dolomias y Calizas con fauna, asimilable a la "Formación Dolomías de Alatoz del Cenomaniense "(7) Hoz del río Guadiela.

23-21-IT-MT- 9554.-





**23-21-IT-MT 9555.-**

**23-21-IT-MT 9555.-** Dolomias tableadas de la unidad Margas, dolomías y calizas con forma (7) en el tramo asimilable a la "Formación de Dolomias de Alatoz". Cenomanense de la Hoz del río Guadiela.

23-21-IT-MT- 9557.- Tramo superior de la Unidad de Dolomias (8) correspondiente a la "Formación de dolomías de la Ciudad Encantada". Turoniente de la Hoz del río Guadiela.



**23-21-IT-MT- 9558.-** Farallón de Dolomías "Unidad (8)" (Dolomías de la Ciudad Encantada). Turoniense del Barranco del Queso (El Recuenco). Por encima la Unidad de Brechas y Dolomías (9) del Coniaciense-Santoniano.





23-21-IT-MT- 9559.-

23-21-IT-MT- 9559.- Tramo superior de capas dolomíticas de la Unidad de Dolomías (8) asimilable a la "Formación Dolomías de la Ciudad Encantada" del Toarcienense en la Hoz del río Guadiela.



**23-21-IT-MT- 9560.-**

**23-21-IT-MT- 9560.-** Tramo basal de la Unidad Brechas, dolomías y calizas (9), asimilable a la "Formación del Embalse de La Tranquera" de edad Coniaciense-Santoniente. Serie realizada en la Hoz del río Guadiela.

23-21-IT-MT- 9561.- Detalle del tramo de Dolomías y Margas dolomíticas con fragmentos de rudistas y laminaciones algales a techo de los ciclos de la Unidad de Brechas, Dolomías y Calizas, asimilable al Santoniense superior. Hoz del río Guadiela.



3-21-IT-MT- 9561.-

co,



**23-21-IT-MT- 9562.-**

**23-21-IT-MT- 9562.-** Vista del Flanco Oriental del Anticlinorio del Recuenco,  
Brechas, Dolomías y Calizas (9) del Coniaciense-Santoniente.

23-21-IT-MT- 9563.- Vista de la Unidad de Brechas y Carniolas (10) del Campaniense en el Arroyo de la Vega.

23-21-IT-MT- 9563.-





23-21-IT-MT- 9565.-

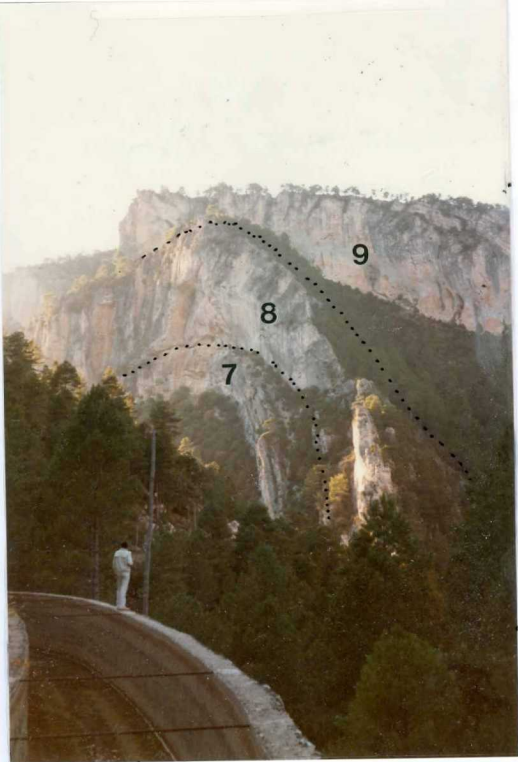
23-21-IT-MT- 9565.- Unidad de Brechas y Carniolas (10) del Campaniense en el paraje del Mal Pasillo, al norte de Herrerías de Santa Cristina. La foto panorámica muestra un relieve arriñonado de la Unidad (10) en el núcleo de su sinclinal.

23-21-IT-MT- 9566.- Panorámica de la población de Cañizares. Al fondo el Cretácico superior. Unidad de margas, dolomías y calizas con fauna (7). Dolomías (8) y Brechas, dolomías y calizas (9).



ondo el  
mías (8)

-MT- 9567.-



23-21-IT-MT- 9567.- Panorámica del flanco oriental del Pliegue de Tragavivos en la Hoz del Guadiela de difícil acceso. Cretácico Superior. Unidades: Margas, dolomías y calizas con fauna (7). Dolomías (8) Brechas, dolomías y calizas (9).

23-21-IT-MT- 9571.-

Terrazas travertínicas (24) en el arroyo de los Palomares.



**RELACION DE DIPOSITIVAS SIN FOTOGRAFIA EN ALBUM**

- 23-21-IT-AG- 9027.-** Diapositiva de detalle de la laminación algal, en las calizas lacustres de la Serie del Eoceno al E de Arbetera. (13).
- 23-21-IT-AG- 9029.-** Diapositiva. Detalle de las calizas de algas (14) del Bco. de Valdehorno.
- 23-21-IT-AG- 9034.-** Otro aspecto de la foto anterior (23-21-IT-AG- 9033).
- 23-21-IT-AG- 9054.-** Diapositiva detalle de las calizas de tubos y restos vegetales en la Unidad carbonatada inferior (19). Carretera de Peralveche.
- 23-21-IT-AG- 9055.-** Diapositiva detalle de las mismas calizas. Laminaciones algales.